

名古屋大学 正会員 松尾 精
名古屋大学 正会員 川村国夫

まえがき 本報告は、動態観測によって施工途中にみたところ設計変更を可能にさせる、しかもより段階的設計に関する、安全性と経済性のトレードオフ分析の観点から、その合理的な方法論を採る試み一つである。前報⁽¹⁾によく、この段階的設計の概念、特徴、および具体的なフローチャートを示した。今回ばかりに基づき、段階的施工とする土構造物の設計に陥り、具体的な例を引用しながら信頼度分析を行ふ。合ひでと、各段階の破壊予知をもつてなる管理法とチェックリスト、と施工管理図の一式を同時に報告する。

信頼度関数と評価関数 地盤の破壊に対する安全性は、安全率ヒルシ漠然とした経験的係数を論じられることが多いが、実際の地盤の安全性に関する因子は本來的にはらうため、それをつきを充実し処理して安全性を定量的に表現しなければならない。すなわち安全性を力学的に「破壊に対する信頼度」として確率論で定量的に表現する。一方、構造物の設計は単に力学的範疇にとどまらず経済、非経済の問題と定量的に結びつけた決定すべきではない。合ひである合理的な設計法を確立するためには、力学的な信頼度を力学以外の評価関数と結びつけたから論じる必要がある。前報⁽¹⁾で示した段階的設計の特徴、信頼度関数、評価関数について簡単にまとめてみる。以下とおりになる。従来の盛土の設計、施工の方法は図1(a)のように設計段階と施工段階が分離、独立している。すなわち既定の機能を有する盛土をつくるための種々の対策上、例えれば地中盛土を用いたり、地盤改良を用いたりの代替案の選択は施工段階と不連続なしに、設計段階で決定された。そのため動態観測は単に施工中の破壊をチェックするための手段にすぎない。一方段階的設計は図1(b)に示すように、構造物の完成までの全工期を設計段階とみなし、その一部に施工段階を含むと考える点に特徴がある。すなわち施工段階に導入された動態観測をも、設計+初期段階における従来法の種々の対策とまったく同等な一つの代替案として位置づけるのである。換言すると設計+最初の段階で考慮された種々の対策と施工開始後に考慮される次の対策とは、たゞ同等の立場にある代替案の集合であると考えられ、それらを一連のシステムとして見え、合理的な代替案の組み合わせをタイナミックな姿勢で選択していくとするものである。またこの系の信頼度関数は破壊兆候がみえたとき施工中に対する施工を終じることができるまで、保全性を伴う信頼度として扱うことができる。すなわち破壊に陥った盛土の信頼度をなるべく早く正常状態に引き戻す保全度を答えることができるのである。今、盛土施工を図1のように入れ段階に分け、おのみの段階ごとに、盛土は一挙に立ち上がるもとすれば全体の信頼度は次のようになる。

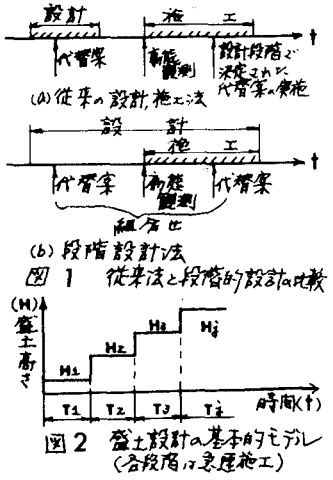
$$A(H_j) = R(H_j) + [t] M_j \quad (1)$$

$A(H_j)$; j 段階目 盛土施工の信頼度。ただし $j-1$ 段階目が立ち上がり、たゞ j 段階目 盛土を実施するときの信頼度。

$R(H_j)$; $j-1$ 段階目までの盛土が立ち上がり、たゞ j 段階目 盛土を施工したときの信頼度。ただし動態観測による対策工の効果を含まない信頼度とし、 $R(H_j) = 1 - P_{fj} \cdot R(H_{j-1})$, P_{fj} ; j 段階目 盛土の破壊確率

M_j ; j 段階目で動態観測を行い、破壊兆候がみえたとき、何らかの対策工を論じるが、それによって向上する系の信頼度。ただしこの対策工は別に定められた時間内に実施できるものとする。

(2); 動態観測によって破壊しないといふ結論を得たとき $M_j = 0$ 、破壊する



ヒトクスの結論を得たときは $i = 1$ 。すなはち j 段階目が破壊を生ずる確率 $P_{ij} = R(H_j)$ だけ存在するため、これを動態観測でチェックしながら、次第工を実施するか、ヒトクスを決定するところは段階的設計の特徴がある。つまり破壊するヒトクスの結論を得たときは、 i つひとと M_i を得たときの方針、資材、労働力が確保されることである。この意味で、ここで「信頼度」は $i = 1$ として考えられるものとする。

一方、経済性の評価では費用/効率のモデルを次のようになる。

$$C_{Aj} = C_{Af} + C_{bsj} + C_{mpj} + P_k = L C_M j + (1 - A(H_j)) C_F$$

C_{Af} ; 信頼度 $A(H_j)$ を得るための施工費

C_{bsj} ; j 段階目の盛土施工に用いる建設費。地盤調査費なども含まれる。

C_{mpj} ; j 段階目動態観測費

C_F ; 次第工を実施するため常に確保しておかなければならぬ、資材、および労働力の待機損失費

$C_M j$; 次第工費

$P_k = 1$; $k = 1$ が発生する確率。 k は盛土を施工する前の段階で検討するため、 j 段階では近似的に P_k とみなす
 C_F ; 破壊損失費

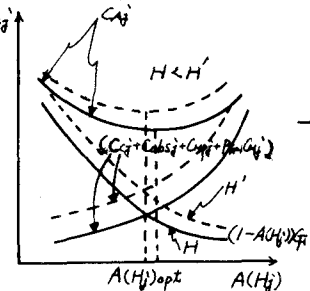


図 3 信頼度分析概念図

これら信頼度曲線と費用曲線を組み合わせ、多くに定めた評価基準のもとに信頼度分析を行なうのである。たゞこれは j 段階目の盛土高が、全体の施工期間や施工速度から制約を受けて決定され、この場合を想定してみる。この場合評価基準として費用便益基準より費用最小を採用する方法である。図 3 はこの評価基準に基づいた最適の信頼度 $A(H_j)_{opt}$ を求める概念図である。横軸に全体の信頼度 $A(H_j)$ をとり、纵軸には全費用 C_Aj がとらえられる。こより $C_Aj \rightarrow \min$ とする信頼度が $A(H_j)_{opt}$ であり、盛土高 H が変化しても H における $A(H_j)_{opt}$ の位置も当然異なってくることわかる。そこでこの作業を各段階で実施し、 j 段階の $A(H_j)_{opt}$ を求めると同時に、既述した信頼度曲線より最適な次第工の規模 (M_j)_{opt}、およびその種類が決定できる。

数値計算例 いま、図 4 に示すように軟弱地盤上に高さ 8.0 m、天端幅 10.0 m、斜面勾配 1:2 の盛土を施工しようとする。盛土の施工段階数、各段階の盛土高、および放置期間などの施工計画は、工期の制約と、安全性の観点より決定されていふ。この場合、各盛土高を 3.0 m としたケースを想定した。また盛土の単位体積重量は図 4 中にも記してあるように平均 1.2 t/m³、標準偏差 0.13 t/m³ とし、さらに軟弱地盤の剪断強度を平均 1.20 t/m²、標準偏差 0.38 t/m² として、それと正規分布をとることとする。この場合の破壊確率は 0.4、失敗確率は 0.6 である。土工によると、通常考慮すべきことは、工事工程、取扱い土量、現場条件、そして土工機械の経済性である。この方法論では、破壊の生起が予想されれば、数時間以内に次第工が施工できることを原則としている。すなはち、1 回の作業で 1 回の 1 段階に 2 層などにおける急激な過剰水压の上昇によって生ずる急速な破壊は、動態観測で地理的による破壊ではないので、このような破壊は地盤調査段階で十分調査し、水抜きなどの次第工を実施するとして、この方法論では取扱わぬ。この方法論で取扱う破壊は定位的時間とともに徐々に進行して、破壊までの時間の余裕があるものと考える。また取扱い土量も破壊延長によつて異なるが、今までの破壊例を調べてみると、約 50 m³ から 100 m³ といふ範囲で観察されているため、この式算例では 50 m³ を想定した。また次第工別、および土工機械別の経済性を調べてみたのが図 5、図 6 である。図 5 はあらかじめ次第工を実施するにあたって使用される土工機械の経済性を示したものである。この場合次第工を選択した理由により、5 時間以内で実施できるものとし、また規定の土工量を処理

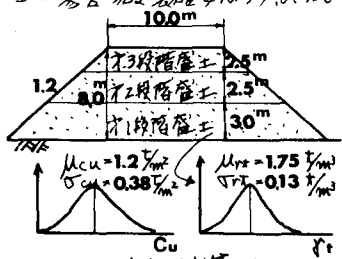


図 4 計算例

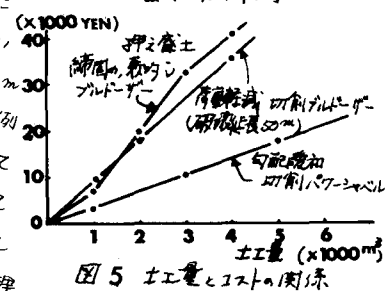


図 5 土工量とコストの関係

さて得るも、ヒも経済的な場合をアロットしたものである。すなまち、例えは第工として盛土荷重軽減をする場合、 3000 m^3 の土工量をうると、切削機械として $6t$, $11t$, $15t$, $21t$ 級のアルドーザを複数台を参考にして最も経済的に組合せた結果、 $21t$ 級アルドーザ 13 台、 $6t$ 級アルドーザ 1 台とし、運転時間は各台とすればよほど、それに用いる費用がアロットしてあるわけである。また図6-1は、図5の土工量のコストの関係を使って、ある第工を実施するにヒにより、向上 M_1 と信頼度 M_2 と、それに用いるコスト C_{M_1} の関係である。これによると信頼度の向上 M_2 とコスト C_{M_1} はおよそ比例関係にあることがわかる。また、第工のうち勾配を緩和、押え盛土 ΔH が小さくなると有効となり、遂に盛土荷重軽減はなる M_1 にもつながります。またこのケースに限って主目的は、押え盛土を行なうとき、押え盛土高幅が自動的に与えられる(このケースは 8.0 m までを想定)、押え盛土高を高くするよりも、むしろ押え盛土作業を抜けた方が有利であることがわかる。しかもそれは第工としての押え盛土はその効果範囲では盛土荷重軽減よりかなり経済的となることを理解できる。そしてこの図6-1は既述した A(H) のむを求めたのが図7である。

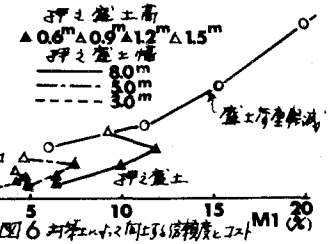


図6 砂質土の向上了の腐葉度とM1(%)

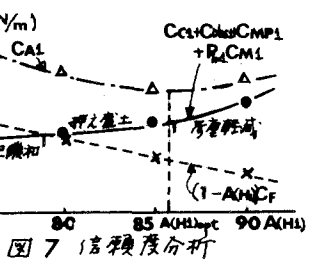


圖 7 信賴度分析

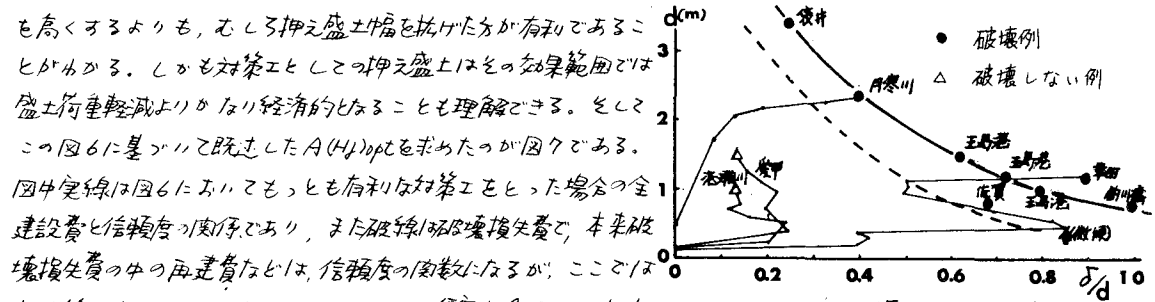


圖 8 施工管理圖。一試算

これえた。これにより、CA2 → min とする音源基準にてばね過度の信頃度 A(Hf)opt は 86.2% となる。これより盛土高 3m 断面の信頃度が 44.6% に対して、12% の信頃度を上げるために改修工として押え盛土が適当であり、その規模は押え盛土高 1.2m、押え盛土幅 8.0m を考えればよしことになる。

破壊の年価時期とその方程式

破壊の年齢時期とその方法 この年齢を施工のシステムによって何能を用いたりによる破壊の時期を直面に叶わす
ることには重要な問題である。図81は軟弱地盤上に施工された、形状および单位体積重量が異なった盛土の破壊例
よりひびき破壊しない例の変位過程を示したものである。このような試みは、前段で行なう、たとえばに盛土法層の偏
り変位量より盛土中央部の基礎地盤の沈下量との比をとり、軟弱地盤上に軟弱地盤の層厚との比をと、たとえばに
類似して1/3が、現在進むるる理論的考察によれば $\delta = \text{const}$ となる条件で破壊予知が可能であるようなるべく、
前段、整理をあらためて、今度は、構造上に偏り、偏軸的にひびきとアロットした。図81によればひびき破壊例は國中に
示した双曲線と近似できる曲線上での破壊して、そこがわかる。また破壊後の変位過程は、時間とともにこゝの曲
線上に沿づく。破壊しない例では、施工直後はこの曲線上に近づくが、途中からはじめて遠ざかるような経路をたど
ることに注目すべきである。すなまちこの曲線を一つの破壊規準線みなせば、図81は、重きを負担するによる破壊の
予想のための施工管理圖としてきめ細かに有望である。たとえば、破壊した草田盛土は、載荷を始めてから約20日
間盛り上げをくり返したので、地盤の変位は、時間とともに、この破壊規準線に近づき、ついには破壊の兆候を
示した。そこで破壊の進行をとめるため約4ヶ月間の放置期間を設けた。それによると変位は先に破壊規準線
から遠ざかったが、再度盛土を行なった時点と、この破壊規準線上で徹底的に破壊した。これに対して優甲盛土
では、いくら盛り上げを行なっても変位はいゝこうにこの破壊規準線に近づかず、安定した盛土施工が行なれた。
すなまち盛土施工中に地盤の変位量が絶対的にこの破壊規準線に近づく傾向を示さないば、破壊に至らず警戒
必要となり、例えば図中に示す破壊線より若干手前のある基準の変位量に達したならば早急に
対策工を施工する必要がある。この破壊線の適当な位置につけておき今後の研究課題とした。

参考文献 1) 段階設計(山内可了一著) 松屋, 11 村, 549 年度土木学会中部支部講演概要集